

Teoría de señales

SEÑALES ELECTROFISIOLÓGICAS

Señales

- Concepto:

Señales

- Concepto:
- *Las señales son magnitudes físicas o variables detectables mediante las que se pueden transmitir mensajes o información.*

Ejemplos de señales

- Voz
- Imágenes (fotografías, Rx, TAC, MRI, PET, volumétricas, microscopía confocal, video, etc)
- Ultrasonido
- Temperatura
- Radar
- Actividad geodésica
- Viento
- **Actividad eléctrica**

Naturaleza de las señales

Naturaleza de las señales

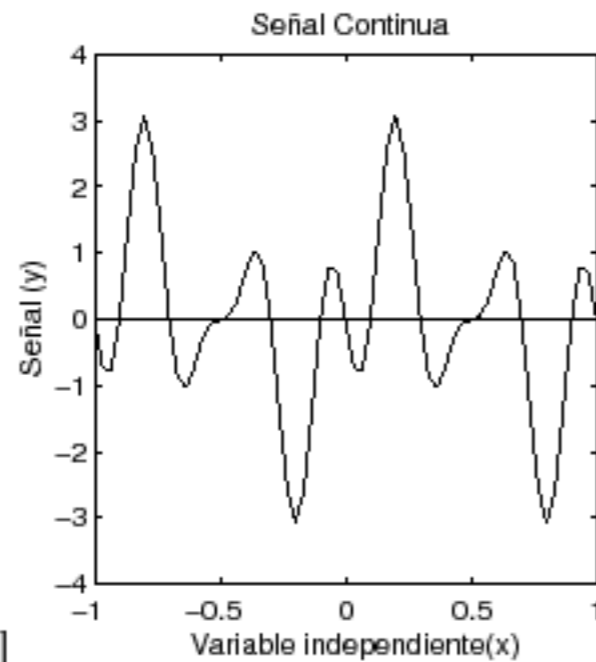
- Señales **continuas** (\sim analógicas) y señales **discretas** (\sim digitales)

Naturaleza de las señales

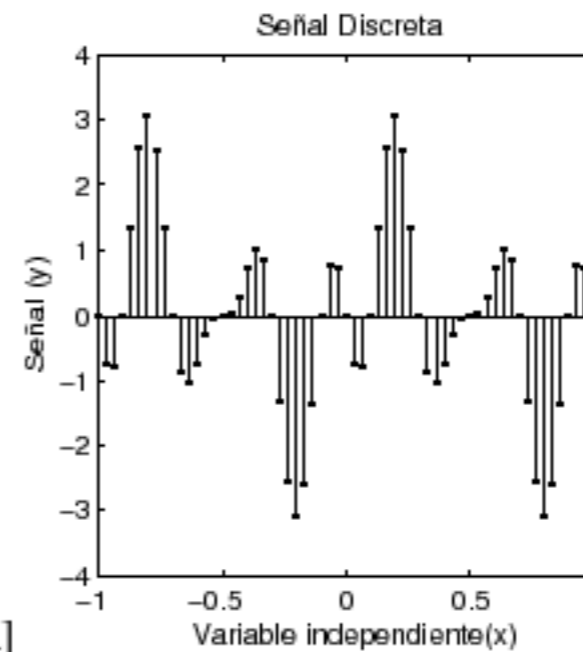
- Señales **continuas** (~ analógicas) y señales **discretas** (~digitales)

Naturaleza de las señales

- Señales **continuas** (\sim analógicas) y señales **discretas** (\sim digitales)

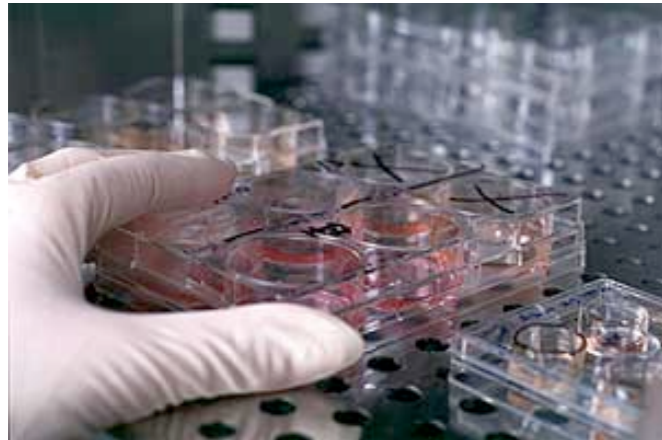


[Señal continua]

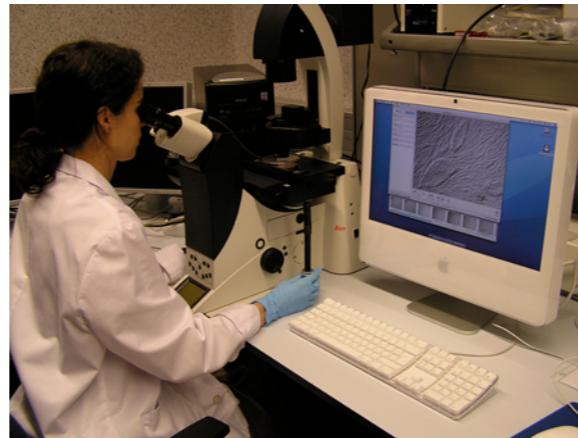


[Señal discreta]

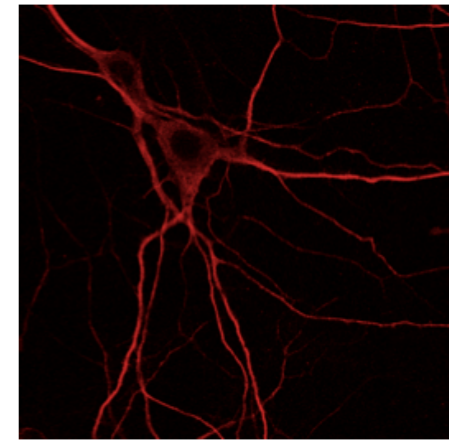
Señal en el mundo continuo



Discretización (muestreo)



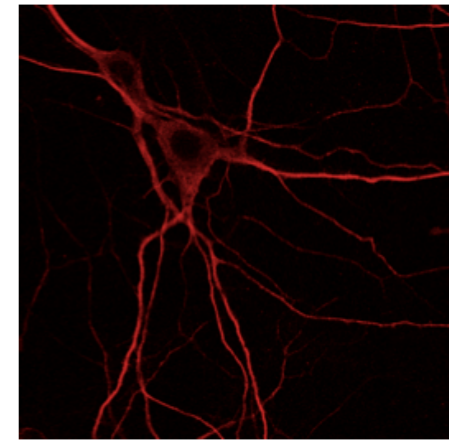
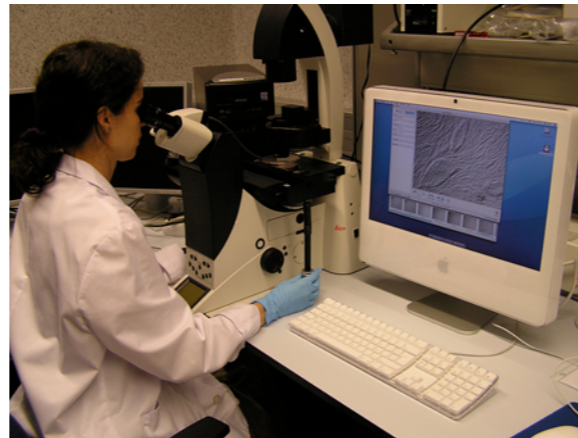
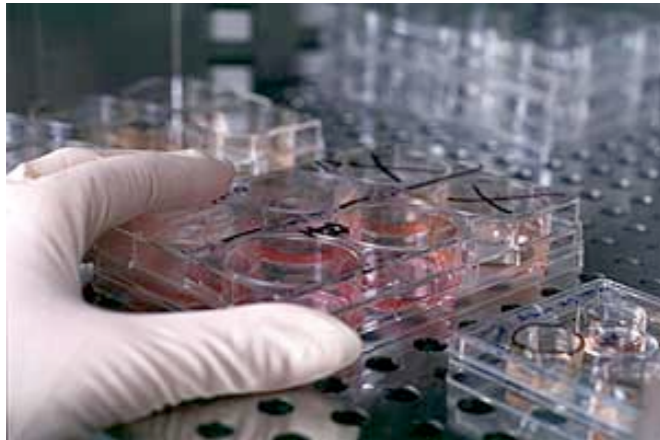
Señal en el mundo discreto



Señal en el mundo continuo

Discretización (muestreo)

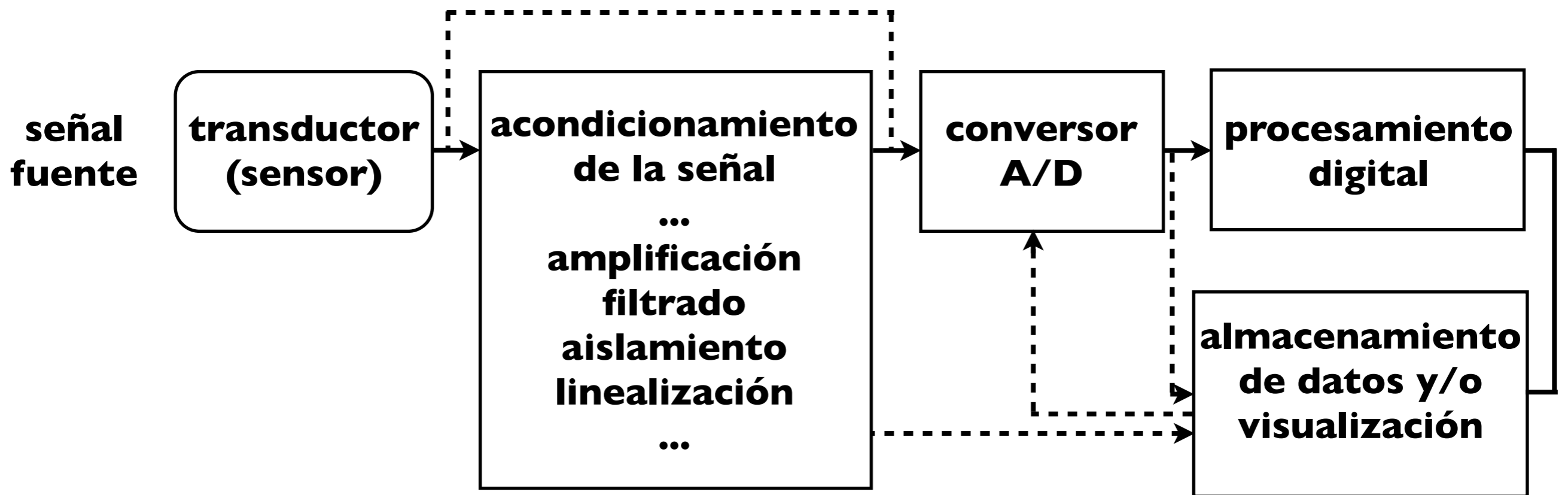
Señal en el mundo discreto



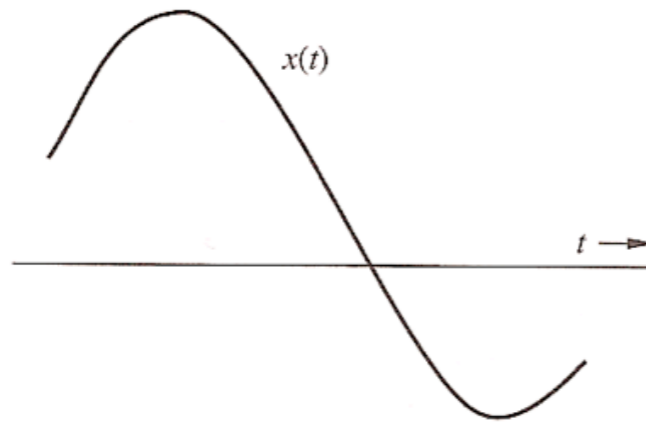
Transformación entre el mundo continuo y discreto

- Conversión Análogo-Digital (CAD)
- Teoría de muestreo

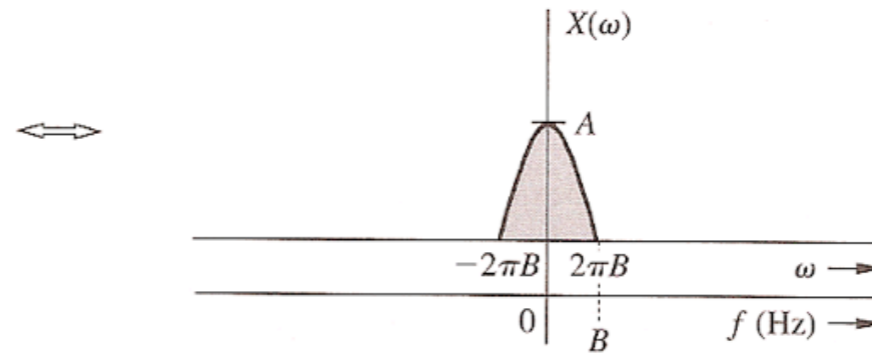
Adquisición, conversión A/D y almacenamiento



Conversión A/D



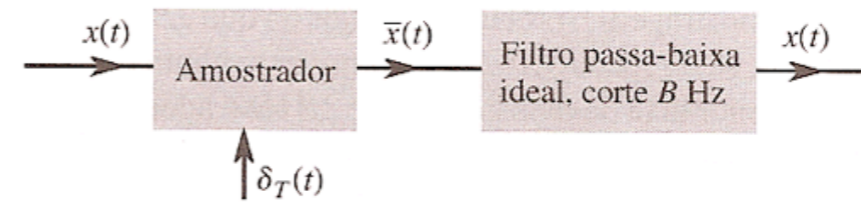
(a)



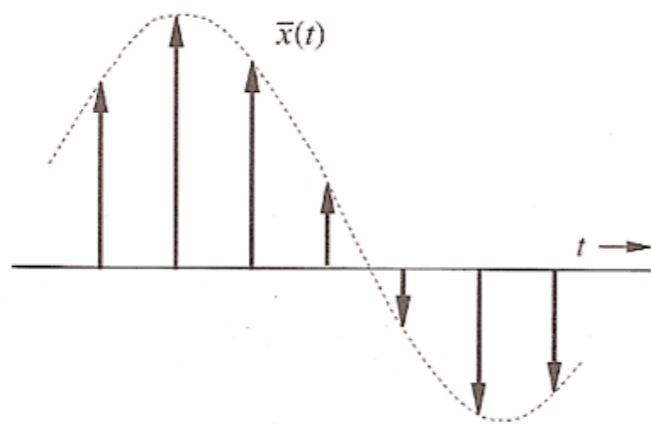
(b)



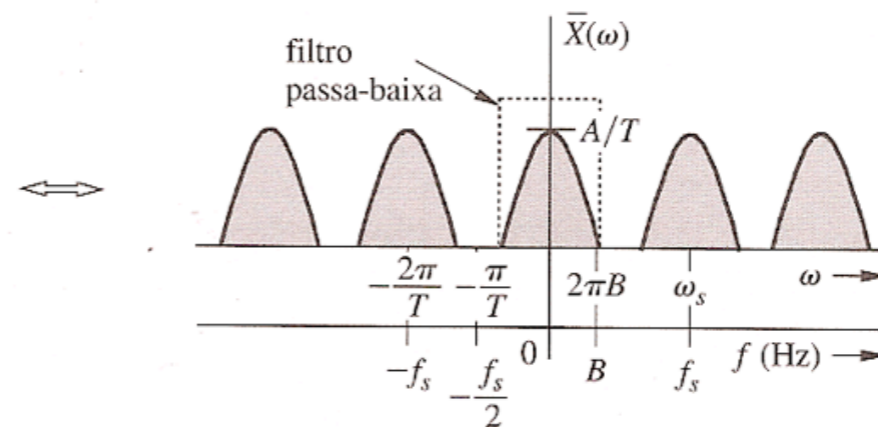
(c)



(d)



(e)



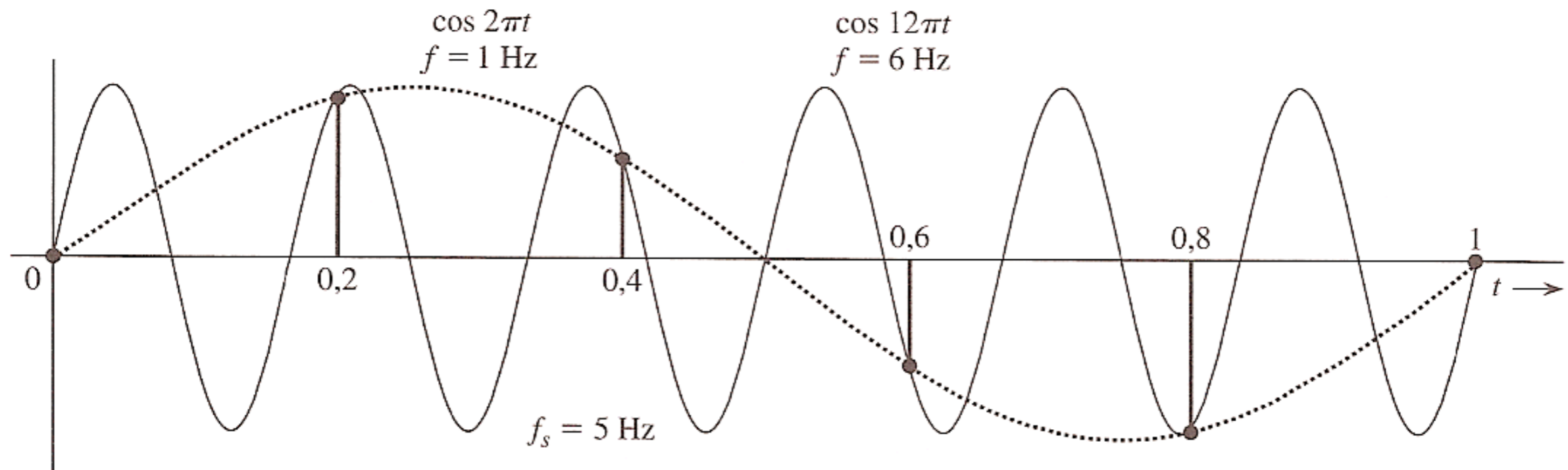
(f)

Teorema del muestreo

Nyquist

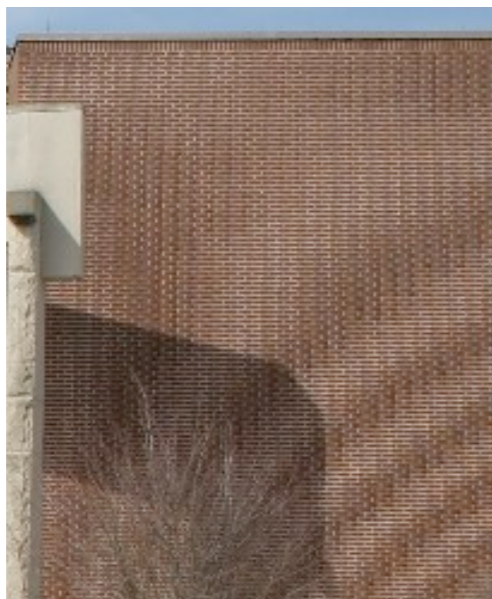
Una señal real cuyo espectro es limitado en banda a B Hz [$X(\omega) = 0$ para $|\omega| > 2\pi B$] puede ser reconstruido exactamente (sin ningún error) a partir de sus muestras tomadas uniformemente a una frecuencia de **$f_s > 2B$** muestras por segundo.

Error en el muestreo ($f_s < 2B$) 'aliasing'



Aliasing. Ejemplos

Imágenes



Video



helicóptero

Música

<http://www.academicearth.org/lectures/aliasing-demonstration-with-music>

Muestreo
correcto

Muestreo a
 $f_s < 2B$

Por lo tanto:

- para reconstruir $x(t)$ a partir de $x'(t)$, se debe cumplir que:

$$f_s > 2B$$

- como el intervalo de muestreo es $T = 1/f_s$,

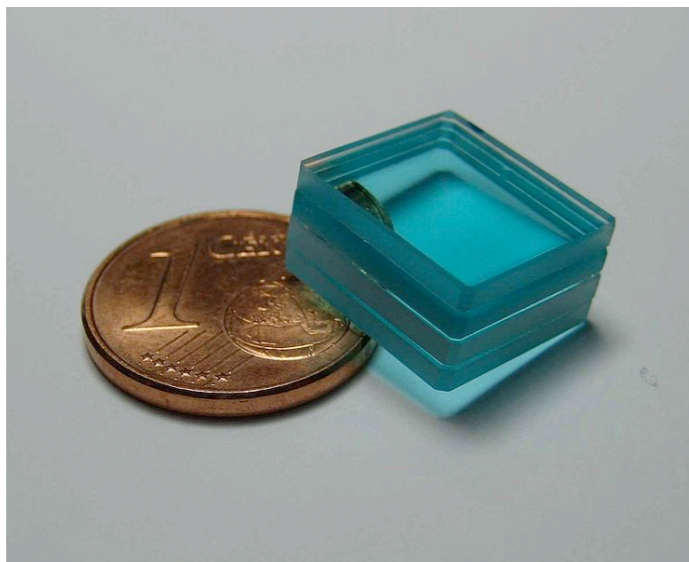
$$T < \frac{1}{2B}$$

Ojo:

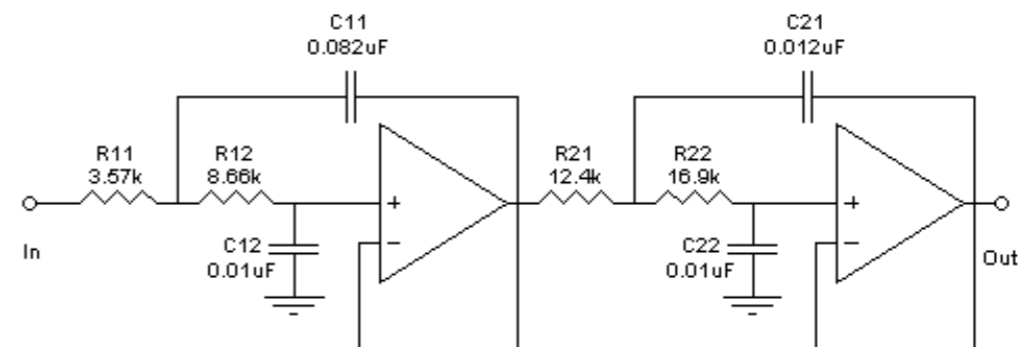
- Las señales reales tienen una duración finita y muchas veces su contenido en frecuencia no tiene un límite superior ... Se deben usar filtros de entrada 'antialiasing'

Ojo:

- Las señales reales tienen una duración finita y muchas veces su contenido en frecuencia no tiene un límite superior ... Se deben usar filtros de entrada 'antialiasing'



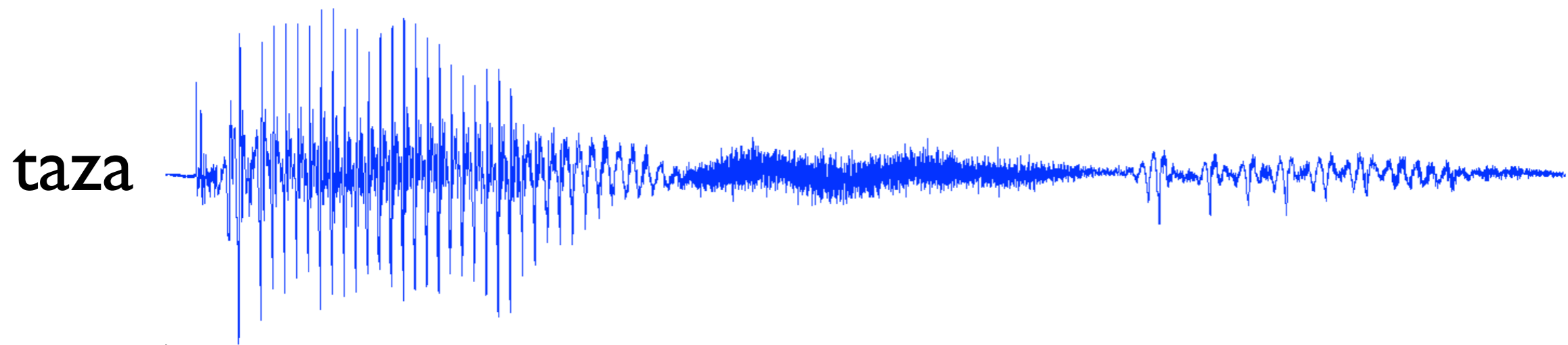
Filtro pasa-bajo de una cámara de video digital



Filtro pasa-bajo analógico tipo Butterworth

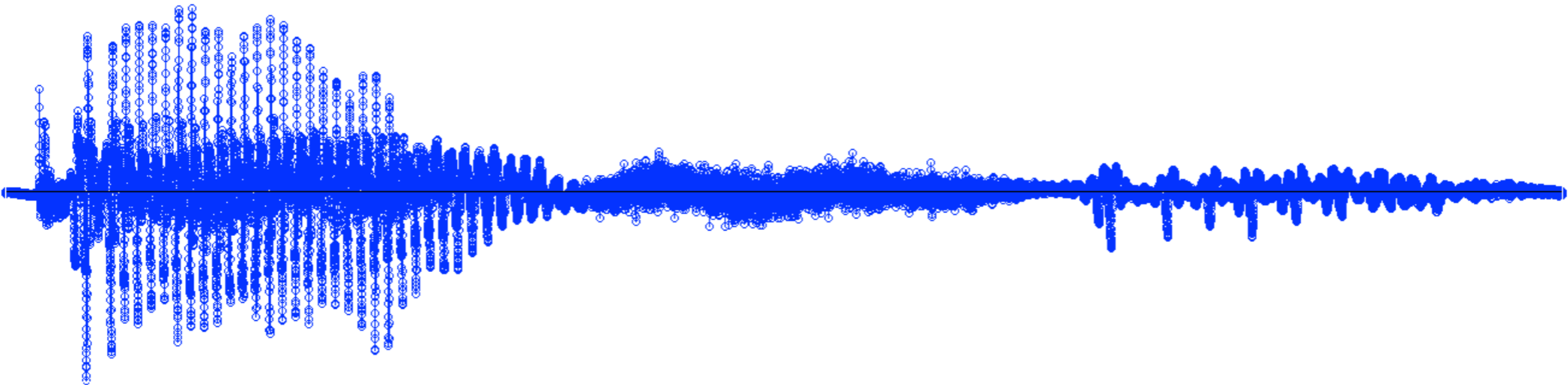
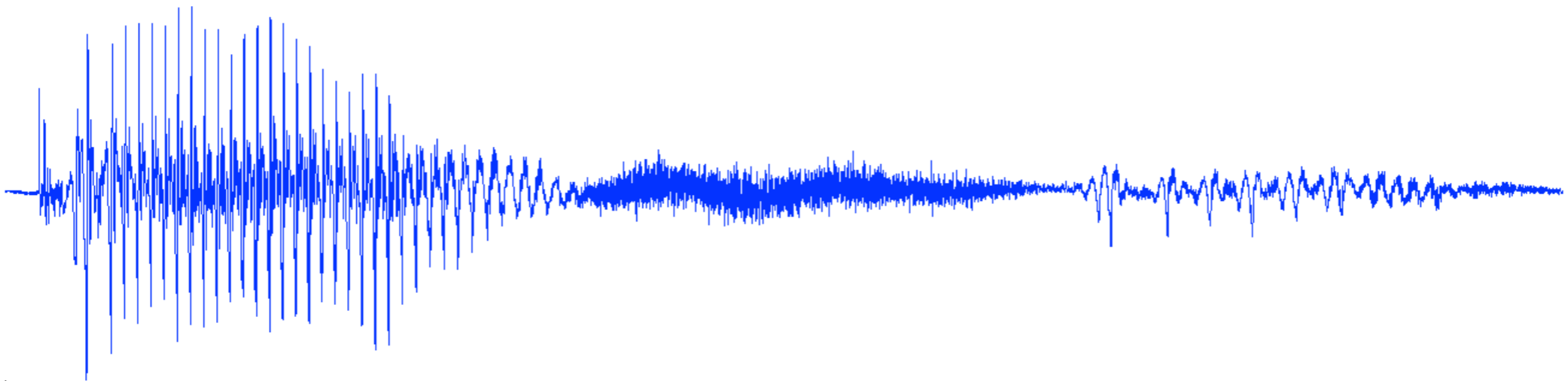
Conversión entre el mundo continuo y discreto

Conversión entre el mundo continuo y discreto



Conversión entre el mundo continuo y discreto

taza

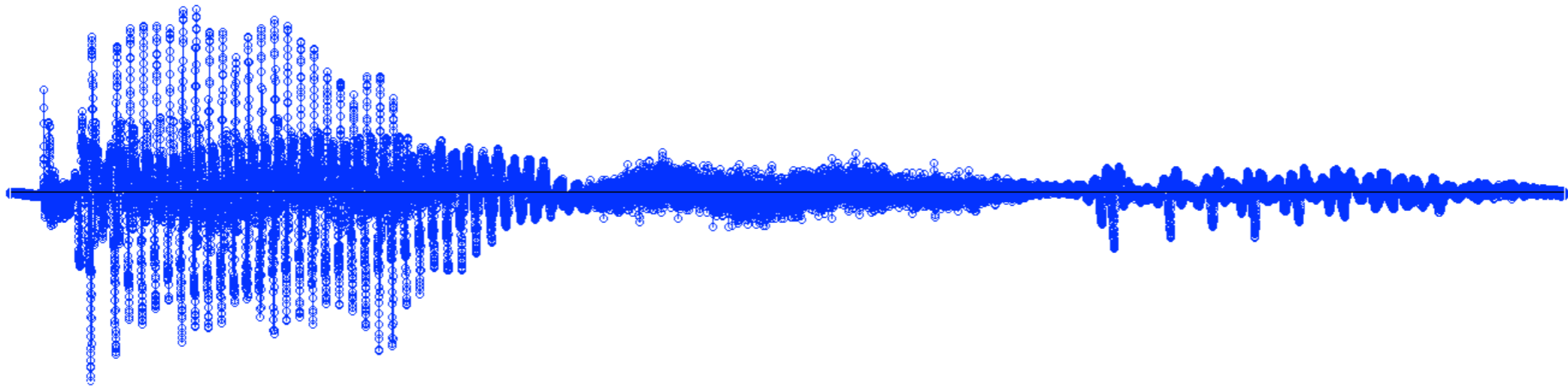


Propiedades de la conversión A/D

Frecuencia de muestreo

Propiedades de la conversión A/D

Frecuencia de muestreo



Cantidad de muestras que tomo por unidad de la variable independiente [tiempo, espacio, etc] (Hz, pixeles, etc.)

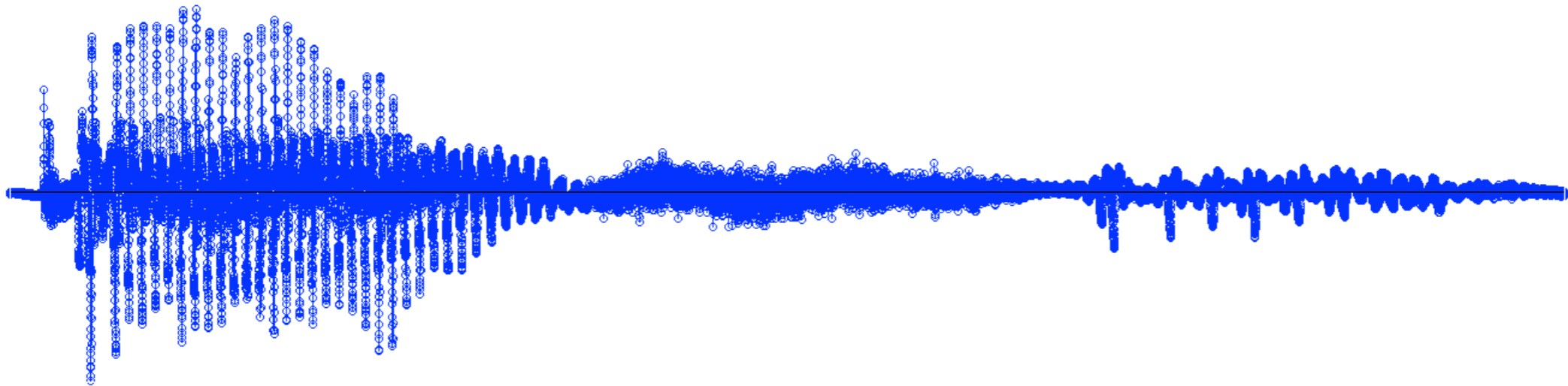
Teorema de Nyquist

Propiedades de la conversión A/D

Precisión

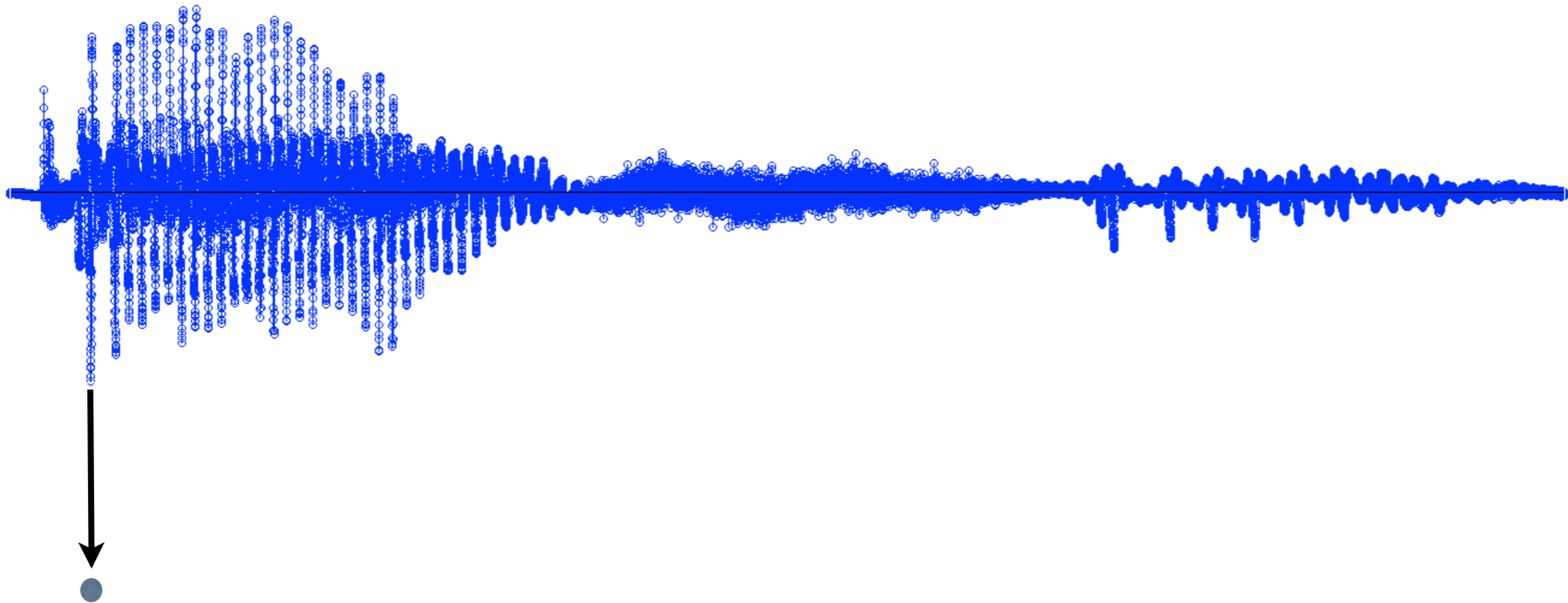
Propiedades de la conversión A/D

Precisión



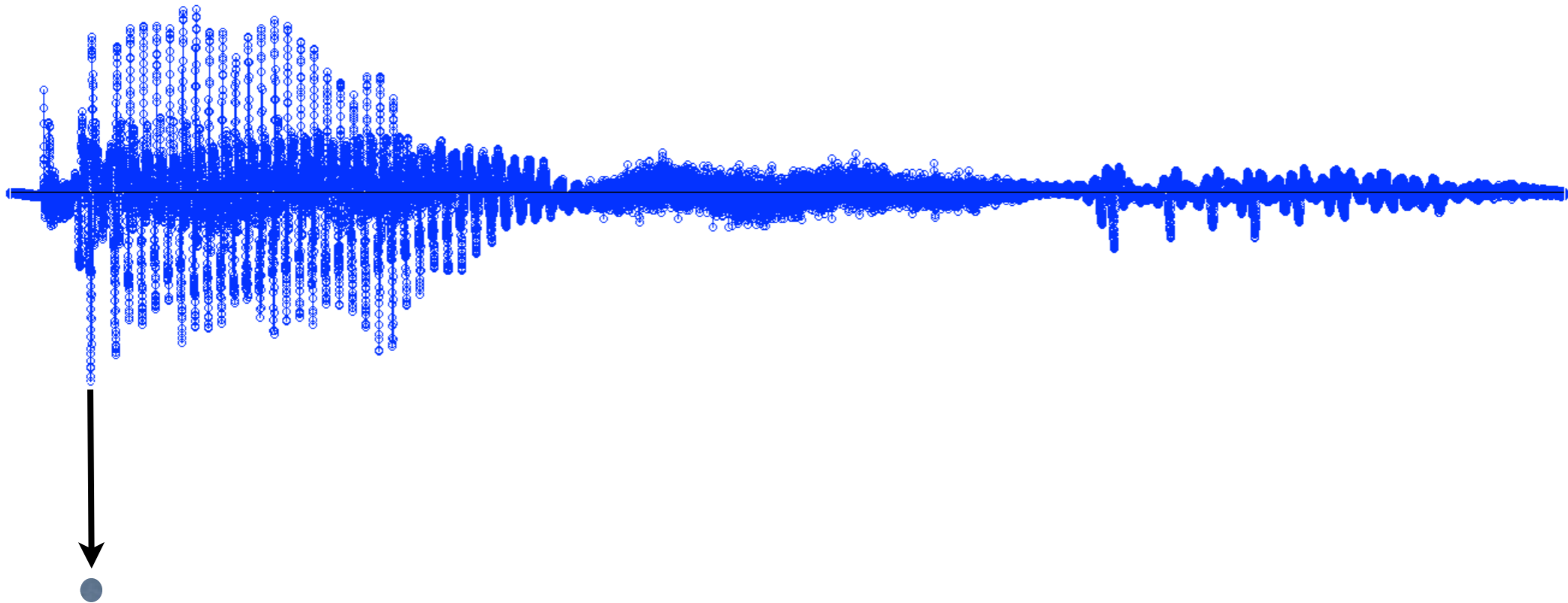
Propiedades de la conversión A/D

Precisión



Propiedades de la conversión A/D

Precisión



Propiedades de la conversión A/D

Precisión



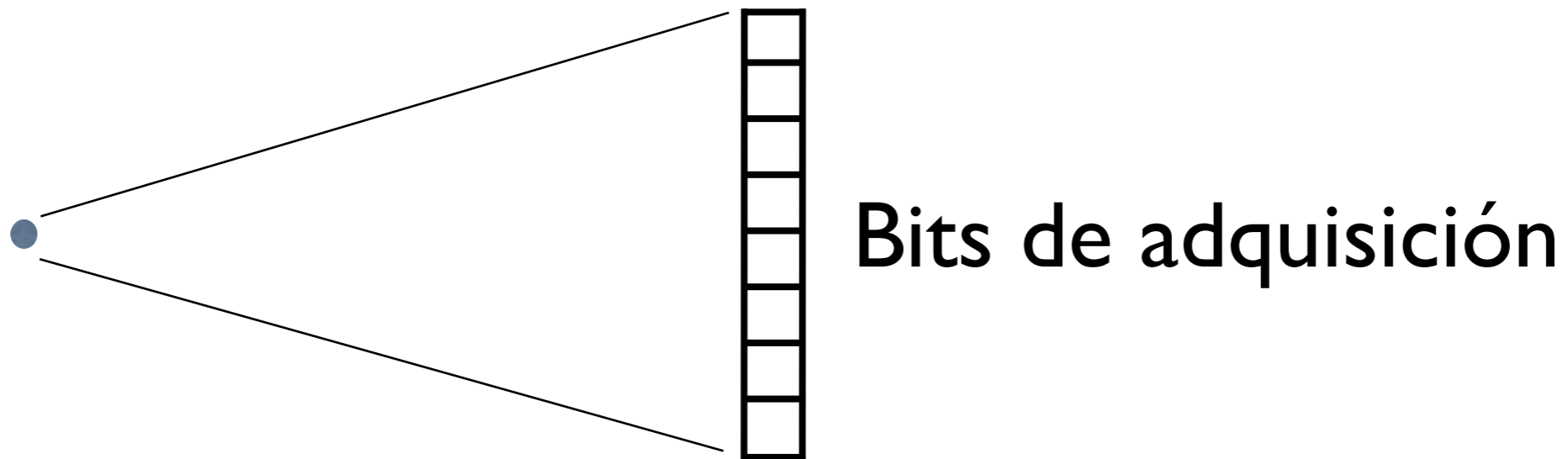
Propiedades de la conversión A/D

Precisión



Propiedades de la conversión A/D

Precisión



Propiedades de la conversión A/D

Precisión

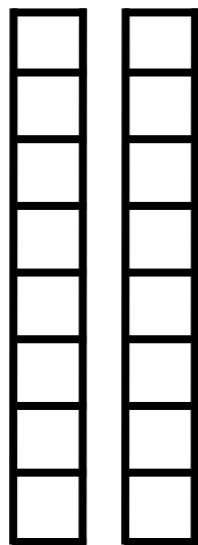
Bits de adquisición

8 bits
(1 byte)



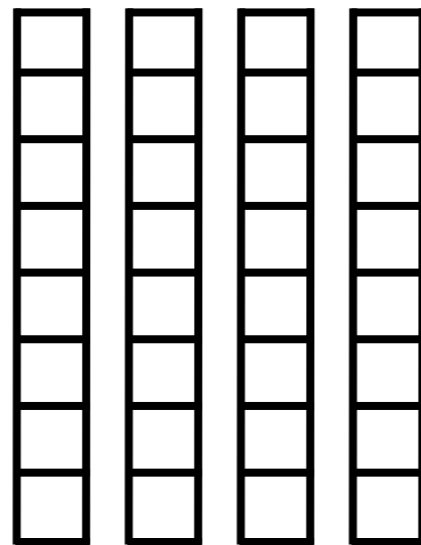
256
valores

16 bits
(2 bytes)



65536
valores

32 bits
(4 bytes)



4.2950e+09
valores

0.00001233862713
0.00001233862804
0.00001233862895
0.00001233862986
⋮

spacing = 0.00000000000091
(1 part in 13 million)

1.000000000
1.000000119
1.000000238
1.000000358
⋮

spacing = 0.000000119
(1 part in 8 million)

1.996093750
1.996093869
1.996093988
1.996094108
⋮

spacing = 0.000000119
(1 part in 17 million)

636.0312500
636.0313110
636.0313720
636.0314331
⋮

spacing = 0.0000610
(1 part in 10 million)

217063424.0
217063440.0
217063456.0
217063472.0

spacing = 16.0
(1 part in 14 million)

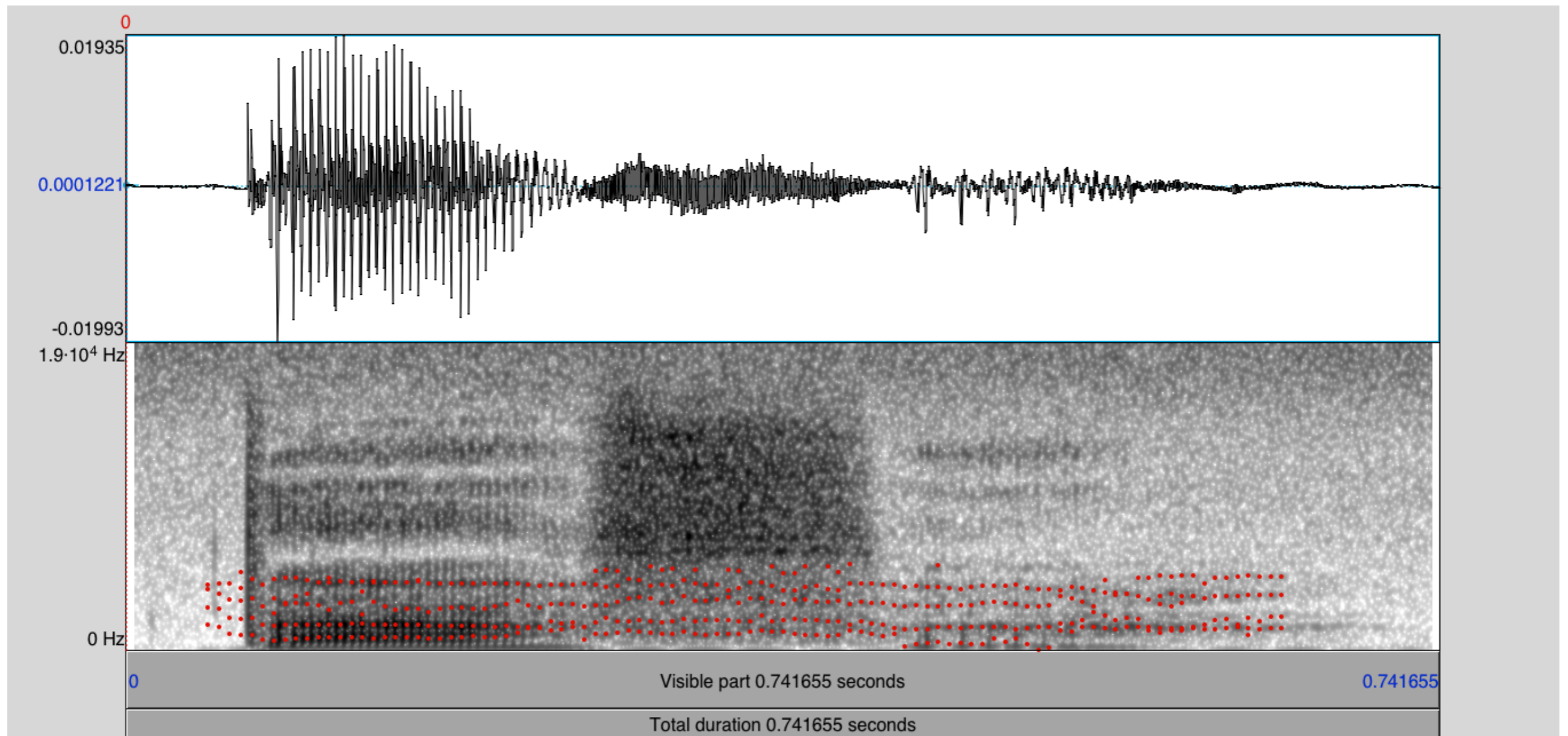
Rango de codificación
(espacio entre valores)

¿De qué dependen las propiedades de muestreo?

¿De qué dependen las propiedades de muestreo?

- 1) De las características naturales de la señal adquirida
- 2) De la información que quiero conservar de la señal original

Propiedades espectrales de la señal



Rango de componentes en frecuencia que contiene una señal
Señal muestreada a 44.100 Hz y 16 bits de precisión

¿De qué dependen las propiedades de muestreo?

¿De qué dependen las propiedades de muestreo?

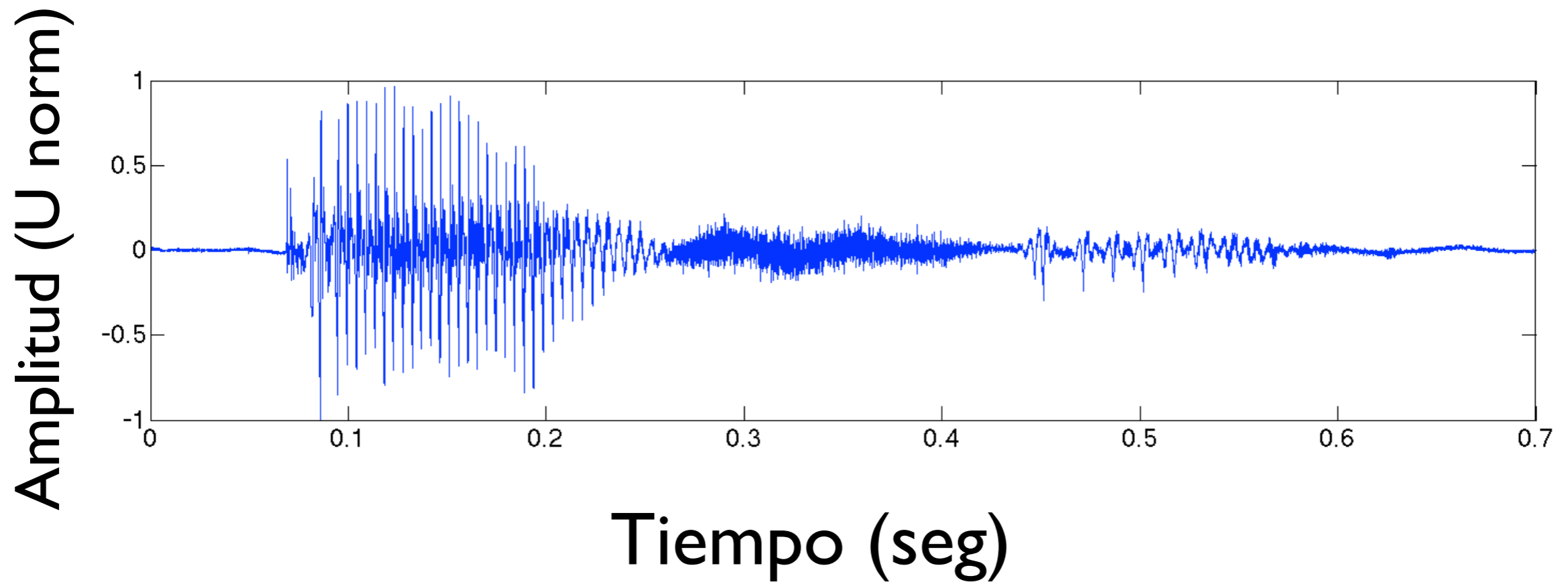
- Debo tener **conocimiento *a priori*** de las características de mi señal de interés

Representación de señales

- **Elección de la variable independiente:**

- -Señales en el *dominio* (función) del tiempo
- -Señales en el *dominio* (función) de la frecuencia
- -Señales en el *dominio* del tiempo y la frecuencia

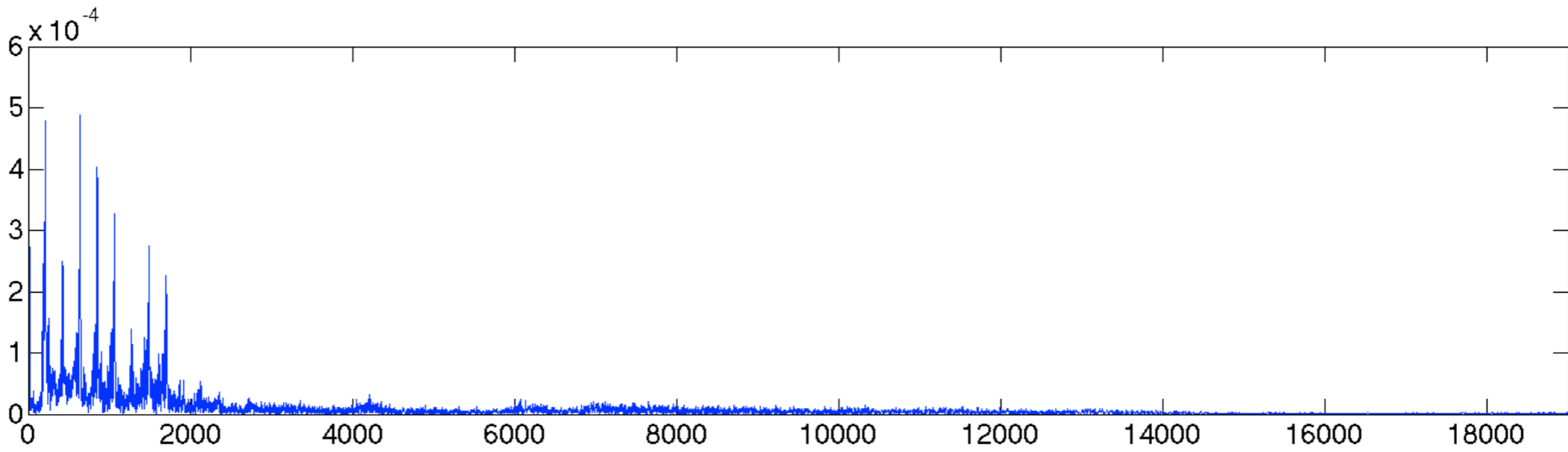
Señal en el dominio del tiempo



Señal en el dominio de la frecuencia

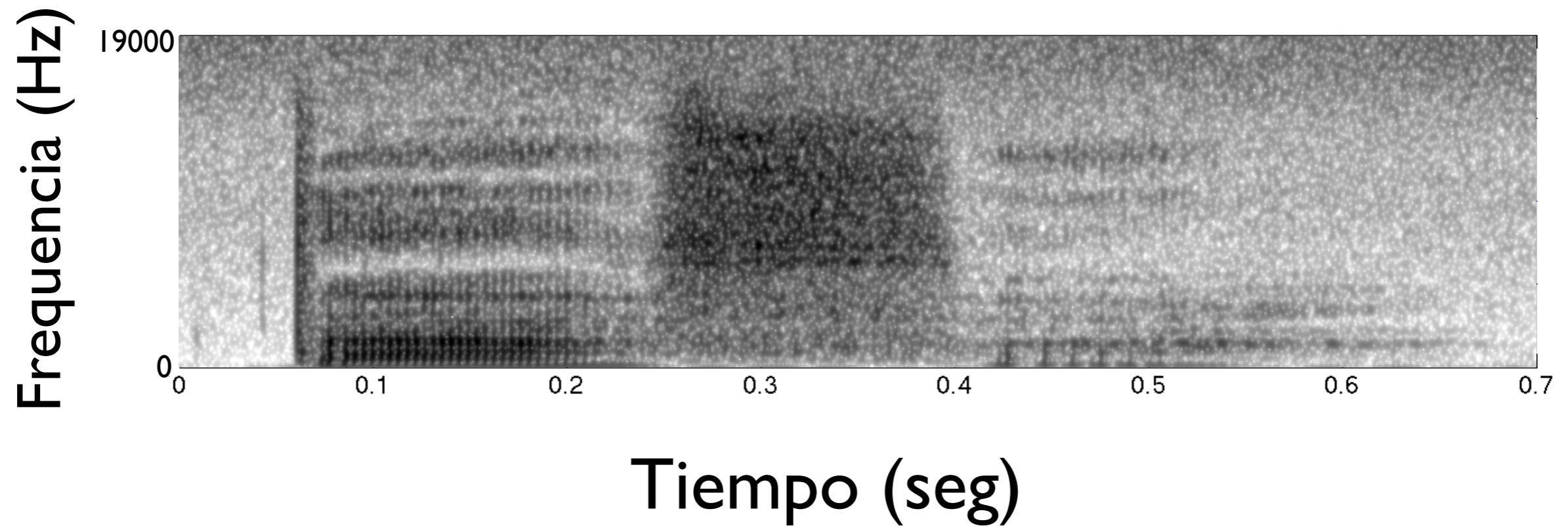
Amplitud del espectro

$|Y(\tau)|$



Frecuencia (Hz)

Señal en el dominio del tiempo y la frecuencia

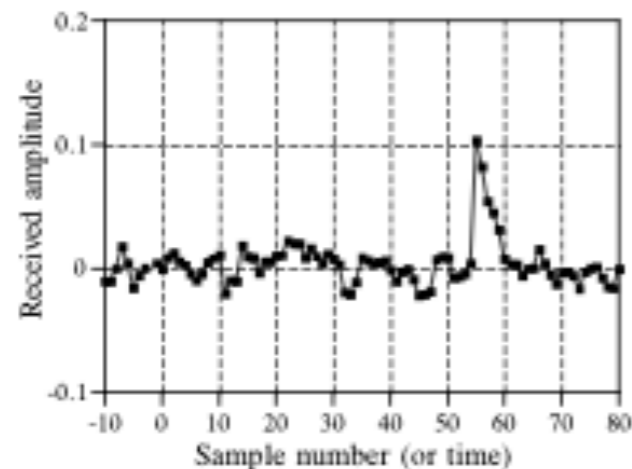
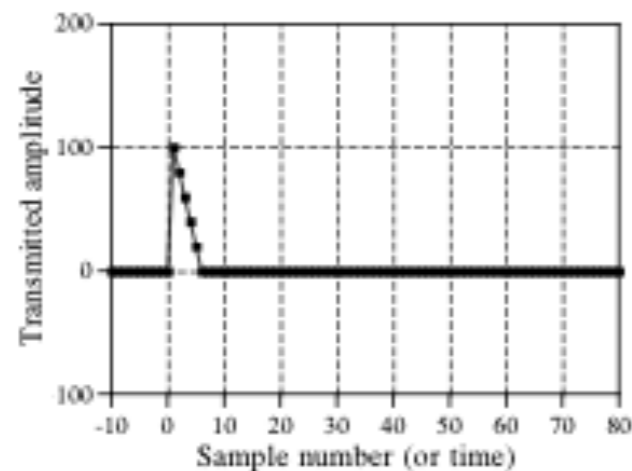


Análisis espectral

Correlación

Dadas dos señales:

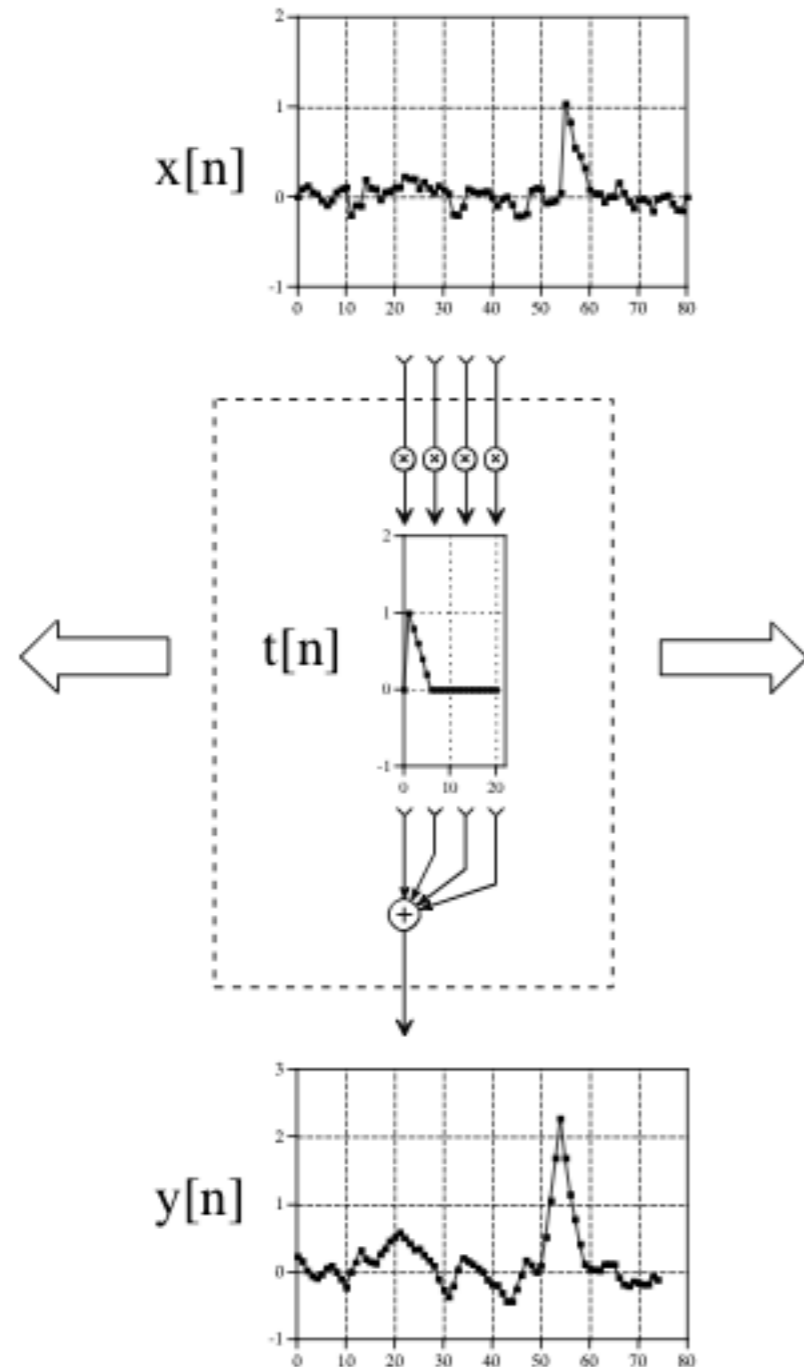
Problema:



Dada una señal de forma conocida, ¿Cual es la forma mejor forma de determinar si la misma señal está -y dónde- contenida en otra señal?

En otras palabras: ¿cuanto y dónde se parece una señal a otra?

Correlación



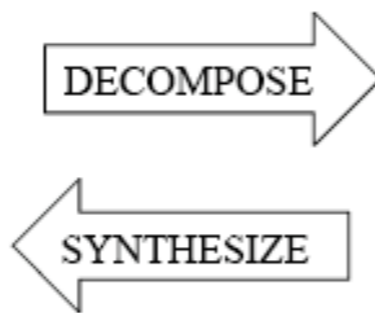
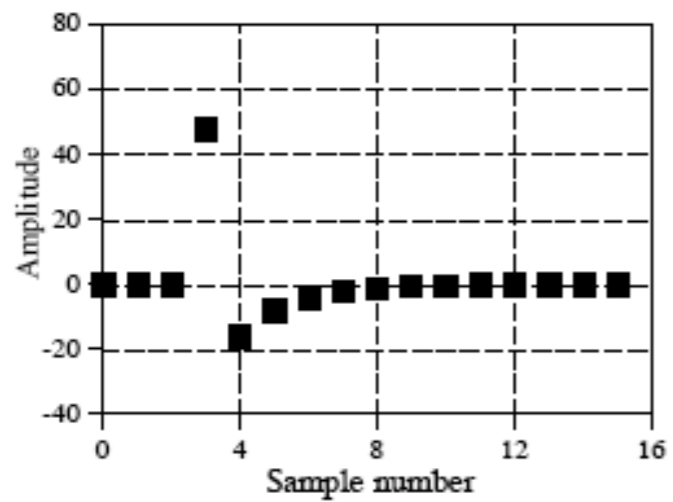
$$y[n] = \sum_{n=1}^N x[n]t[n-\tau]$$

Análisis espectral

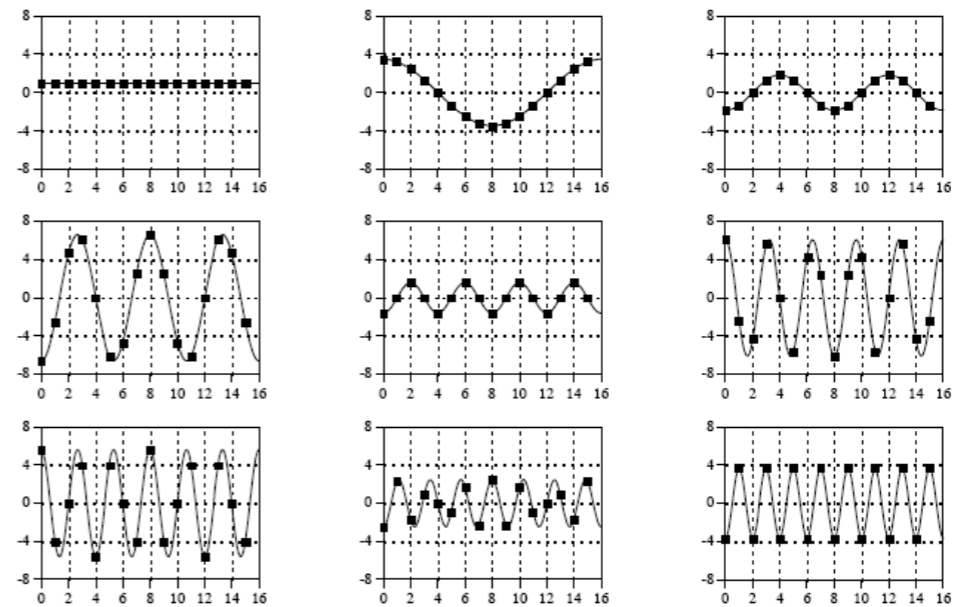
- Fourier

- Es una familia de técnicas matemáticas, basadas en la descomposición de señales *en sinusoides*.
- Trabajar con señales que son más fáciles de manejar matemáticamente que la señal original.

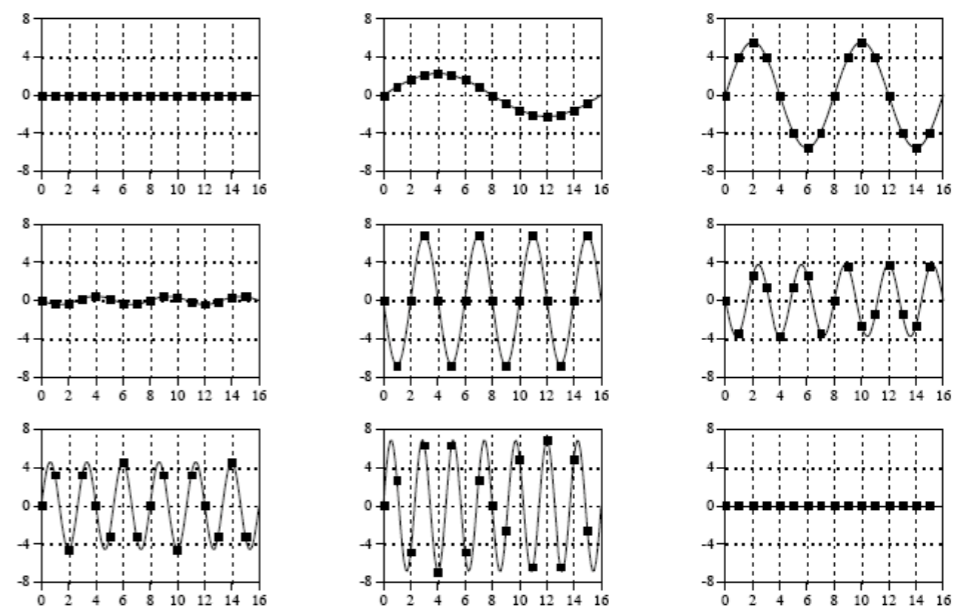
Fourier



Cosine Waves



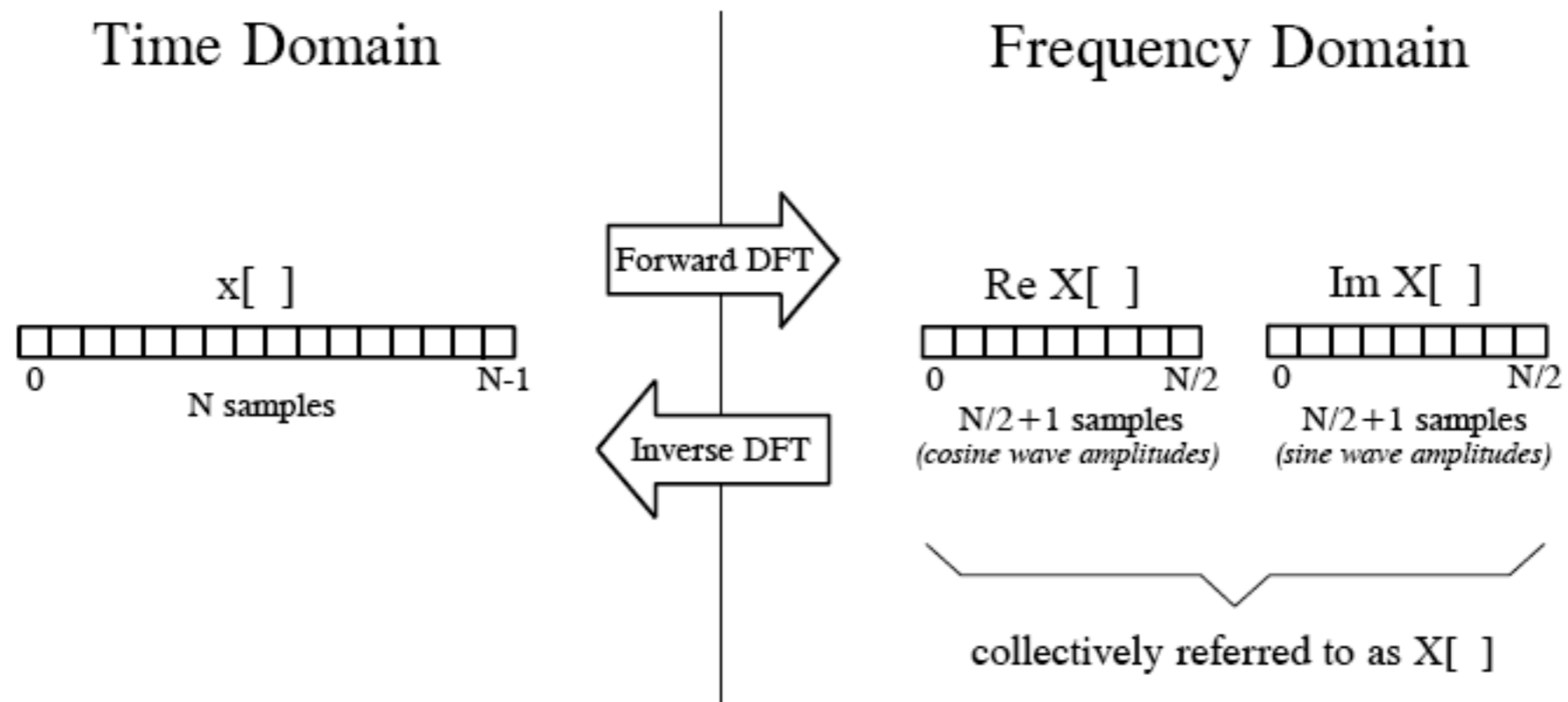
Sine Waves



Fourier

- Transforma una señal de entrada de N puntos en dos señales de salida de $N/2+1$ puntos.
- La señal de entrada contiene la señal que será descompuesta (dominio del tiempo), mientras que las dos señales de salida contienen las amplitudes de los senos y cosenos que la componen (dominio de la frecuencia).

Fourier



Funciones base de la transformada de Fourier

EQUATION 8-1

Equations for the DFT basis functions. In these equations, $c_k[i]$ and $s_k[i]$ are the cosine and sine waves, each N points in length, running from $i = 0$ to $N-1$. The parameter, k , determines the frequency of the wave. In an N point DFT, k takes on values between 0 and $N/2$.

$$c_k[i] = \cos(2\pi ki/N)$$

$$s_k[i] = \sin(2\pi ki/N)$$

Ecuaciones de la transformación de Fourier

- Perspectiva de la correlación

EQUATION 8-4

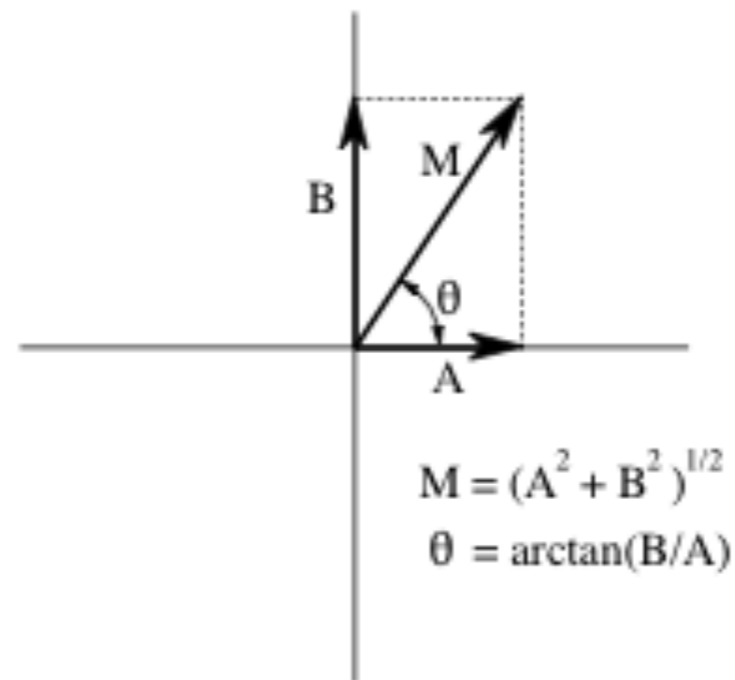
The analysis equations for calculating the DFT. In these equations, $x[i]$ is the time domain signal being analyzed, and $ReX[k]$ & $ImX[k]$ are the frequency domain signals being calculated. The index i runs from 0 to $N-1$, while the index k runs from 0 to $N/2$.

$$ReX[k] = \sum_{i=0}^{N-1} x[i] \cos(2\pi k i / N)$$

$$ImX[k] = - \sum_{i=0}^{N-1} x[i] \sin(2\pi k i / N)$$

Representación cartesiana y polar

FIGURE 8-9
Rectangular-to-polar conversion. The addition of a cosine wave and a sine wave (of the same frequency) follows the same mathematics as the addition of simple vectors.



EQUATION 8-6
Rectangular-to-polar conversion. The rectangular representation of the frequency domain, $ReX[k]$ and $ImX[k]$, is changed into the polar form, $MagX[k]$ and $PhaseX[k]$.

$$MagX[k] = (ReX[k]^2 + ImX[k]^2)^{1/2}$$

$$PhaseX[k] = \arctan\left(\frac{ImX[k]}{ReX[k]}\right)$$

EQUATION 8-7
Polar-to-rectangular conversion. The two arrays, $MagX[k]$ and $PhaseX[k]$, are converted into $ReX[k]$ and $ImX[k]$.

$$ReX[k] = MagX[k] \cos(PhaseX[k])$$

$$ImX[k] = MagX[k] \sin(PhaseX[k])$$

Relación de Euler

EQUATION 30-11

Euler's relation. This is a key equation for using complex numbers in science and engineering.

$$e^{jx} = \cos x + j \sin x$$

Representación compleja de sinusoides

$$A \cos(\omega t) + B \sin(\omega t) \rightleftharpoons a + jb$$

(conventional representation) *(complex number)*

$$M \cos(\omega t + \phi) \rightleftharpoons M e^{j\theta}$$

(conventional representation) *(complex number)*

Ecuación de Fourier

$$\hat{f}(\xi) = \int_{-\infty}^{\infty} f(x) e^{-2\pi i x \xi} dx$$